

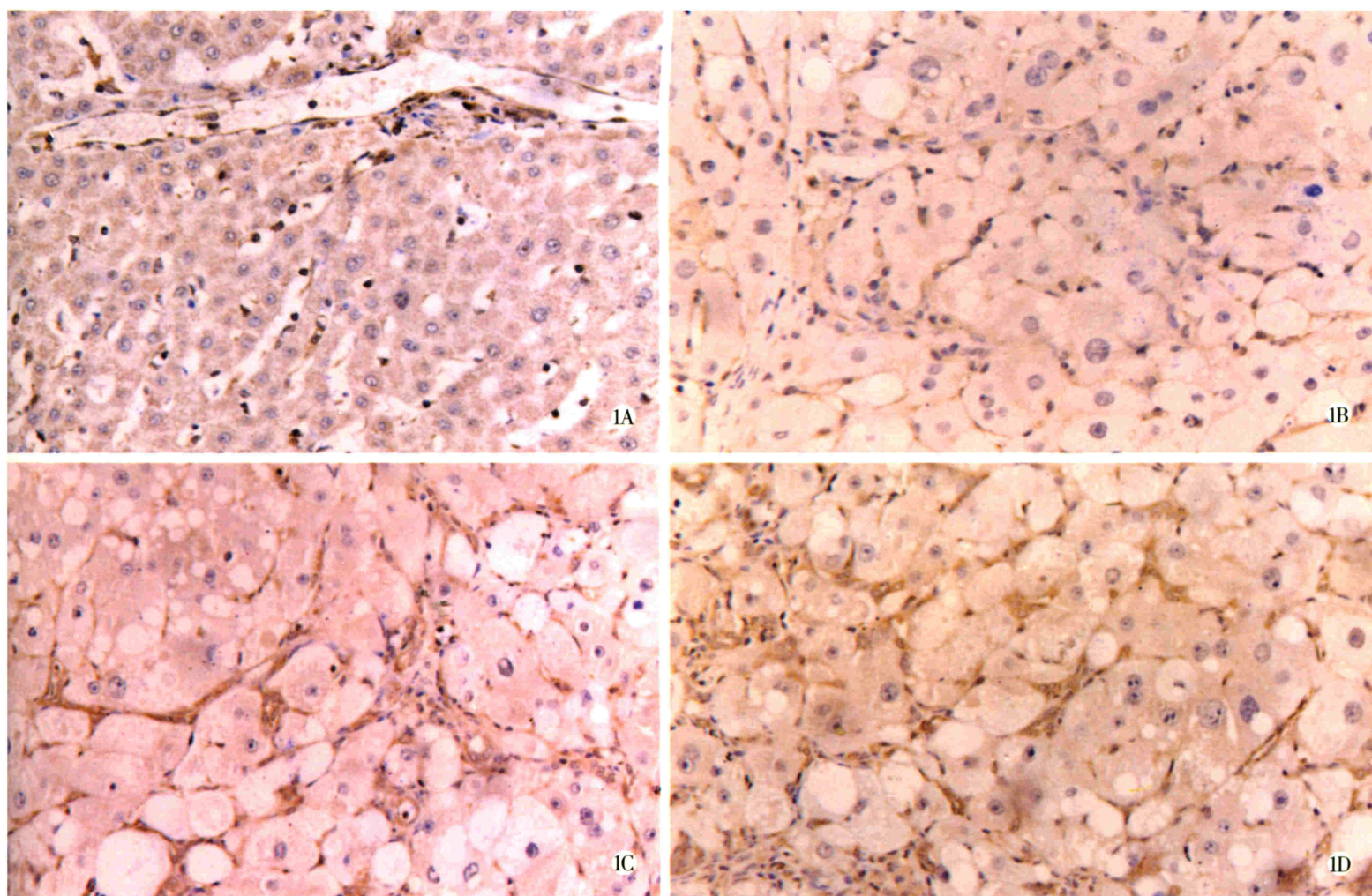
世界华人消化杂志[®]

WORLD CHINESE
JOURNAL OF DIGESTOLOGY

Shijie Huaren Xiaohua Zazhi

2003年6月15日 第11卷 第6期

(Volume 11 Number 6)



6/2003

ISSN 1009-3079



名誉总编辑
潘伯荣
总编辑
马连生

World Journal of Gastroenterology[®] 被 SCI[®]-E, Research Alert[®], Current Contents[®]/Clinical Medicine, Journal Citation Reports[®], Index Medicus, MEDLINE, Chemical Abstracts, EMBASE/Excerpta Medica 收录。2001 年 JCR[®] 报告 WJG 影响因子 1.445。世界华人消化杂志[®]被 Chemical Abstracts, EMBASE/Excerpta Medica 收录。2001 年中国科技期刊引证报告：世界华人消化杂志[®]影响因子 3.733, WJG 影响因子 2.920。

世界华人消化杂志

Shijie Huaren Xiaohua Zazhi

● 目 次 ●

2003 年 6 月 15 日 第 11 卷 第 6 期 (总第 110 期)

述 评	689 肝脏胶原蛋白检测进展与评析 刘成海
病毒性肝炎	693 甲型肝炎减毒活疫苗(LA-1 株)大规模免疫长期效果观察 龚健,李荣成,徐志一,江世平,罗东,杨进业,李艳萍,陈修荣,黄贵彪,凌文武,韦光武,汪萱怡 697 HCV-Fc 融合基因疫苗真核表达载体的构建及表达 冯志华,王全楚,周永兴,郝春秋,聂青和 701 胸腺肽 α_1 对慢性乙型肝炎患者免疫系统的影响 段国荣,聂青和,周永兴,王全楚,田长印,刘拉羊,薛红安 705 蛋白激酶 C 对肾小球前小动脉平滑肌细胞 I 型 IP ₃ 受体表达影响 王静艳,刘沛,韩峰
肝 癌	708 抗肝癌单链免疫毒素基因修饰的 PBMCs 在动物体内的抑瘤作用 程虹,刘彦仿,张惠中,沈万安,张菊,张静 712 经皮穿刺氩氦刀冷冻治疗肝癌 31 例 钱国军,陈汉,吴孟超 716 大鼠肝细胞癌形成过程中 MMP-2mRNA 的表达及应用 BB-94 的影响 张志,方石岗,高毅,蒋泽生,孙尔维
基础研究	719 西安酒精性肝病流行病学 鲁晓岚,陶明,罗金燕,耿燕,赵平,赵红莉 723 蛋白激酶 C 在肝细胞缺氧预处理中的作用 单毓强,高毅,王瑜,潘明新 726 肝硬化不同病期 ET-1,NO 对离体肝脏血流动力学的调节作用 姚冬梅,姚希贤,杨川杰,冯志杰,房红梅,高军萍 730 大鼠肝纤维化中细胞外信号调节激酶的作用 梁增文,张国,王天才 733 环氧化酶 -2 反义核酸对人胆管癌细胞增生的影响 吴高松,武小勇,邹声泉,裘法祖 737 ONO-3403 对胆囊收缩素刺激的大鼠胰腺外分泌的影响 陈少夫,刘维新,山本光胜,大槻真 741 内皮抑素 - 可溶性血管内皮细胞生长抑制因子融合基因重组腺病毒的包装与鉴定 李喆,潘欣,潘卫,曹贵松,闻兆章,方国恩,戚中田,毕建威,华积德 745 激活素 A 对肝星状细胞细胞外基质合成的影响 刘清华,李定国,黄新,尤汉宁,潘勤,徐雷鸣,徐芹芳,陆汉明 749 脾静脉结扎诱导继发性脾功能亢进犬动物模型的评价 刘全达,马宽生,何振平,丁钧,董家鸿 753 IL-6 与整合素家族细胞黏附分子在大鼠急性坏死性胰腺炎合并多器官损伤模型中的表达 孙威,张俊东,赵滢,赵宇,王强
临床研究	756 老年消化道多原发癌的早期诊断及综合治疗 蔡昌豪,吴本俨,吴道宏,邵勇,王孟薇
焦点论坛	760 进一步深化慢性乙型肝炎诊断治疗的实用性研究 李梦东,聂青和 762 慢性乙型肝炎临床分度、诊断的一些问题 周永兴 766 慢性乙型肝炎的鉴别诊断及常见并发症 聂青和 768 特殊人群乙型肝炎的临床特点及处理 罗新栋,聂青和 772 病理学检测在慢性乙型肝炎诊断治疗中的价值 郎振为 775 经皮肝脏活体穿刺活检技巧及研究进展 滕光菊,聂青和 776 乙型肝炎的实验检查及其临床意义 郝春秋,聂青和 780 慢性乙型肝炎的抗病毒治疗 程明亮,吴亚云 783 慢性乙型肝炎的免疫治疗 施光峰 785 慢性乙型肝炎的中医药治疗 申德林,王全楚,焦栓林 787 乙型肝炎病毒携带者的诊断与治疗 江家骥,朱琪 789 慢性乙型肝炎肝纤维化的诊断与治疗 蔡卫民,张彬彬 791 乙型肝炎病毒慢性感染和肝癌发生 苏勤 795 治疗性疫苗 - 慢性乙型肝炎患者的希望 王全楚,聂青和
文献综述	799 抗乙型肝炎病毒肝靶向药物制剂的研究进展 王九平,白雪帆 803 腺病毒载体的特点及其在 HCV 研究中的应用 郝春秋,冯志华,聂青和 806 HCVC 区 DNA 疫苗的研究现状 孙利,周永兴 810 病毒性肝炎基因治疗的研究和面临的挑战 贾战生,冯志华,周永兴

文献综述

- 815 抗HCV树突状细胞疫苗的制备及功能研究 王全楚,冯志华,周永兴
819 疫苗新概念及新型疫苗的研制 冯志华,王全楚
823 特殊状态下的逆行胰胆管造影检查术 智发朝
824 胃肠道出血的内镜诊治 陈村龙,宋于刚,周殿元
827 介入内镜学在胆胰疾病中的应用 刘思德
829 老年期消化性溃疡与恶性肿瘤溃疡、应激性溃疡的鉴别 吴保平,肖冰
831 老年人消化道急症 黄纯炽

研究快报

- 834 肠癌细胞BAI1基因表达的检测及其抗肿瘤作用 王志华,康熙雄,张智清,申宝忠,李莹
836 三氧化二砷对鸡胚移植胆管癌生长的抑制作用 喻智勇,王曙光,郑秀海,李昆
838 小鼠实验性肝损伤中NO的动态检测及意义 陈会松,柳利明,黄华,杨晋辉

临床经验

- 841 结肠黑变病25例 孙军,李岩
842 保留胰腺的脾动脉干及脾切除术在胃癌根治术中的意义 陈志新,胡建昆,张波,陈佳平,周总光
844 萎缩性胃炎临床证型分类研究 朱方石,姒健敏,王良静
846 叶酸对胃癌前细胞凋亡的影响 曹大中,刘顺英,赵建学
848 短肠综合征的远期并发症4例 周伟,江志伟,姜军,朱维铭,张佃良,李宁,黎介寿
851 幽门螺杆菌感染与慢性肝病的临床关系 焦建中,聂青和,赵春林,吴永胜,文绍先,吴群
853 内支架术与腔内近距离放射治疗联合应用治疗晚期食管癌8例 申宝忠,于友涛
855 组织黏合剂Histoacryl治疗胃静脉曲张活动性出血的疗效 曾黎明,陈村龙,智发朝
856 肝病患者血清肿瘤坏死因子 α 水平变化 徐学刚,张美稀,董惠芳,杨协珍,金树根,陈建杰,王灵台
859 尼美舒利引起肝脏损害14例 关英,徐峰,胡莲,周甘平
861 脾肿体积、脾静脉血流及血细胞计数在门静脉高压症分期中的意义 王秀艳,游晓功,施宝民,穆庆岭,吴泰璜
863 大连地区糖尿病患者与健康成年人肠内菌群的比较 孙艳,刘波,赵静玫,王海岩,徐和利,李雪驰
865 影像学检查对肝门部胆管癌进展范围评价的临床价值 张国梁,韦斌,朱春兰,任旭
867 分离培养在Hp感染诊断中的重要地位 史济经,闵海阳,王青,杨慧芳,王洪涛,张振华
870 HBV感染者HBV DNA与抗原抗体标志物的关系 陈雪娟,李刚,刘淑芳,陈文思,李桂侠
871 乙型肝炎肝组织中细胞间黏附分子-1及Fas的表达及意义 张闽峰,郑瑞丹,孟家榕,郭以河,林福地
873 轮状病毒感染对肝胆胰的影响 姚英民,李宁,欧巧群
877 良性肝病患者血清AFP升高的临床意义 程天霞
875 胆源性胰腺炎手术治疗58例 黄建勇,马清涌,马建新
879 经皮肝穿刺胆道引流治疗外伤后胆瘘 汪邵平,霍枫,张玉新,裴世强

病例报告

- 840 以肠梗阻为首发表现的原发性小肠肿瘤4例 赵永玲,魏芳

编委来信

- 707 711 江学良

投稿细则

- 附1-4 世界华人消化杂志投稿细则

封面故事

- 730 大鼠肝纤维化中细胞外信号调节激酶的作用 梁增文,张国,王天才

世界华人消化杂志

Shijie Huaren Xiaohua Zazhi

吴阶平 题写封面刊名
陈可冀 题写版权刊名
(月刊)
创刊 1993-01-15
改刊 1998-01-25
出版 2003-06-15
原刊名 新消化病学杂志

总顾问 陈可冀
黄象谦
黄志强
黎介寿
刘耕陶
裘法祖
汤钊猷
王宝恩
危北海
吴孟超
吴咸中

张金哲
张学庸
赵东海
周殿元
社长总编辑 马连生
中文编辑 潘伯荣
王瑾晖
英文编辑 张建中
排版 李少华
校对 李天华

编辑 世界华人消化杂志编辑委员会
030001, 山西省太原市双塔西街77号
E-mail: wjcd@wjgnet.com
出版 世界胃肠病学杂志社
100023, 北京市2345信箱
E-mail: wjcd @ wjgnet.com
<http://www.wjgnet.com>
电话 (010)85381892
传真 (010)85381893
印刷 北京科信印刷厂
发行 国内 北京报刊发行局
国外 中国国际图书贸易总公司
(100044, 北京399信箱)
订购 全国各地邮电局
邮购 世界胃肠病学杂志社发行部
(100023, 北京市2345信箱)
电话:(010)85381892
传真:(010)85381893
2003年版权归世界胃肠病学杂志社所有

本刊已被国内外 检索系统收录

美国《化学文摘(CA)》
荷兰《医学文摘库/医学文摘(EM)》
俄罗斯《文摘杂志(PK)》
中国科技论文统计与分析
中国学术期刊文摘
中国中医药信息服务网
中国生物医学文献光盘数据库
《中文科技资料目录(医药卫生)》
中国生物医学期刊目次数据库
中国医学文摘外科学分册(英文版)
中国医学文摘内科学分册(英文版)

特别声明

本刊刊出的所有文章不代表世界胃肠病学杂志社和本刊编委会的观点,除非特别声明.本刊如有印装质量问题,请向本刊编辑部调换.

ISSN 1009-3079

邮发代号 82-262

国外代号 M 4481

国内定价

每期 24.00 元 全年 288.00 元

广告经营许可证

1401004000050

环氧合酶 -2 反义核酸对人胆管癌细胞增生的影响

吴高松,武小勇,邹声泉,裘法祖

吴高松,武小勇,邹声泉,裘法祖,华中科技大学同济医学院附属同济医院普外科 湖北省武汉市 430030
吴高松,男,1966-05-03生,湖北省武穴市人,汉族。1989年同济医科大学本科毕业,2000年同济医科大学博士研究生毕业,主治医师。主要从事肝胆外科分子生物学研究。
项目负责人:吴高松,430030,湖北省武汉市,华中科技大学同济医学院附属同济医院普外科。wugaosong9172@sina.com
电话:027-83660874 传真:027-83662851
收稿日期:2002-11-06 接受日期:2002-11-13

Effects of cyclooxygenase-2 antisense vector on proliferation of human cholangiocarcinoma cells

Gao-Song Wu, Xiao-Yong Wu, Sheng-Quan Zou, Fa-Zu Qiu

Gao-Song Wu, Xiao-Yong Wu, Sheng-Quan Zou, Fa-Zu Qiu, Department of General Surgery, Tongji Hospital, Tongji Medical College, Huazhong University of Science and Technology, Wuhan 430030, Hubei Province, China
Correspondence to: Dr. Gao-Song Wu, Department of General Surgery, Tongji Hospital, 1095 Jiefang Road, Wuhan 430030, Hubei Province, China. wugaosong9172@sina.com
Received:2002-11-06 Accepted:2002-11-13

Abstract

AIM: To transfet antisense vector of human COX-2 gene into COX-2 highly expressing cholangiocarcinoma cell line QBC939 and to explore its biological activities and role in carcinogenesis.

METHODS: QBC939 cells were transfected with antisense vector of human COX-2 gene using LipoVec™ transfecting technique. Transfected cells were selected with G418; COX-2 mRNA was examined by using reverse transcription polymerase chain reaction (RT-PCR) and COX-2 protein expression was detected by immunocytochemistry using isozyme selective antibodies. The proliferative status of transfected cells was measured by using methabenzthiazuron (MTT) assay; Cell cycle and apoptosis was analyzed by using flow cytometry (FCM).

RESULTS: RT-PCR showed a lower COX-2 mRNA level in transfected cells and immunocytochemistry showed weaker COX-2 protein expression in transfected cells. The proliferative index of the transfected cells decreased significantly ($P < 0.01$), the percentage of S phase decreased remarkably in transfected cells ($9.27 \pm 1.91\%$) compared with that in QBC939 cells without transfection ($16.35 \pm 2.87\%$) ($P < 0.05$), and the percentage of G0/G1 phase increased remarkably in transfected cells ($75.16 \pm 4.13\%$) compared with that in QBC939 cells without transfection ($57.31 \pm 10.16\%$) ($P < 0.05$). Transfection with antisense vector of human COX-2 gene had no significant influence on the apoptosis in QBC939 cells ($P > 0.05$).

CONCLUSION: Transfection with antisense vector of human

COX-2 gene is able to inhibit the proliferation of human cholangiocarcinoma QBC939 cells.

Wu GS, Wu XY, Zou SQ, Qiu FZ. Effects of cyclooxygenase-2 antisense vector on proliferation of human cholangiocarcinoma cells. Shijie Huaren Xiaohua Zazhi 2003;11(6):733-736

摘要

目的:用反义环氧合酶 -2(COX -2)重组载体转染COX -2高表达人胆管癌细胞 QBC939, 观察其对 QBC939 细胞的生长抑制作用, 并探讨其作用机制.

方法:通过脂质体介导将 COX -2 反义核酸质粒转入 QBC939 细胞, 经 G418 筛选获得稳定表达 COX -2 反义核酸的胆管癌转染细胞模型.采用逆转录聚合酶链式反应 (RT-PCR)技术检测转染前后 QBC939 细胞 COX -2 mRNA 表达的变化, 应用免疫细胞化学链霉亲合素 - 生物素复合物(SABC)技术检测转染前后 QBC939 细胞 COX -2 蛋白表达水平的变化, 应用四唑氮蓝(MTT)比色法检测 COX -2 反义核酸对 QBC939 细胞增生的影响, 应用流式细胞仪测定细胞周期和细胞凋亡.

结果:反义COX -2基因转染后胆管癌细胞中COX -2 mRNA 表达水平明显下调, COX -2 蛋白表达减弱. 转染反义 COX -2 重组载体的QBC939细胞生长速率明显下降($P < 0.01$), 细胞周期分析转染后细胞比转染前细胞增生指数显著下降 ($P < 0.01$), S 期细胞比例为 $9.27 \pm 1.91\%$, 比转染前 ($16.35 \pm 2.87\%$) 明显降低($P < 0.05$), G0/G1 期细胞比例为 $75.16 \pm 4.13\%$, 比转染前($57.31 \pm 10.16\%$) 明显上升($P < 0.05$), 细胞被抑制在 G0/G1 期;COX -2 反义核酸转染对 QBC939 细胞凋亡率无明显影响($P > 0.05$).

结论:COX -2 反义核酸导入可抑制 QBC939 细胞增生.

吴高松,武小勇,邹声泉,裘法祖. 环氧合酶 -2 反义核酸对人胆管癌细胞增生的影响. 世界华人消化杂志 2003;11(6):733-736

<http://www.wjgnet.com/1009-3079/11/733.asp>

0 引言

COX -2 除了在炎症反应中起作用外, 还与癌症的发生有关^[1-3]. COX -2 表达上调与胆管癌的形成关系密切^[4]. 我们通过脂质体介导将反义 COX -2 重组载体转染 COX -2 高表达人胆管癌细胞 QBC939, 观察 COX -2 反义核酸对 QBC939 细胞的生长抑制作用, 并探讨其作用机制, 为 COX -2 反义核酸用于胆管癌的治疗提供实验依据.

1 材料和方法

1.1 材料 人胆管癌细胞系QBC939由第三军医大学西南医院王曙光教授^[5]建系并惠赠, 我室保存; RPMI1640培养基及胎牛血清购自Gibco公司; 胆管癌QBC939细胞在含10mL/L胎牛血清的培养基中置于37℃, 50mL/L CO₂孵育箱常规培养; 人COX-2反义重组质粒载体pcDNA3.1/hCOX2(-)由第四军医大学西京医院吴开春教授^[6]构建并惠赠; 空载体pcDNA3.1由我室保存。LipoVecTM脂质体购自美国InvivoGen公司; RNA提取试剂盒RNA-SOLV为Omega公司产品; PBR322 marker购自晶美公司; 引物由上海生工公司合成; 兔抗人COX-2多克隆抗体购自北京中山生物技术有限公司(Santa Cruz公司产品); SABC试剂盒和DAB显色剂购自武汉博士德公司。

1.2 方法 取pcDNA3.1/hCOX2(-)质粒或pcDNA3.1质粒3μg加入(或不加任何质粒作空白对照)LipoVecTM脂质体100μL中混匀, 室温下作用30 min配置脂质体与质粒复合物。以每孔5×10⁵个细胞接种在6孔板中, 贴壁后用20倍体积含血清培养基稀释的上述复合物常规培养3 d。将各组细胞倍比稀释(1:10, 1:50, 1:250)至24孔板, 换用含G418(300 mg/L)的筛选液继续培养2 wk后, 随机挑选转染组细胞克隆及对照组克隆, 扩大培养, 分别命名为QBC-AS和QBC-P。采用RT-PCR方法检测转染细胞COX-2 mRNA表达水平的变化。COX-2上游引物: 5'-ACAAATGCTGACTATGGCTAC-3', 下游引物: 5'-AACTGATGCGTGAAGTGCTG-3', 扩增产物238 bp; 内参照β-actin上游引物: 5'-CATCACCAATTGGCAATGAGCG-3', 下游引物: 5'-CTAGAAGCATTGCGGTGGAC-3', 扩增产物348 bp。对数生长期细胞传代培养3 d后收集细胞。细胞总RNA的提取按一步法RNA提取试剂RNA-SOLV说明书进行。取1/10样品测定RNA浓度及纯度后用于RT-PCR扩增。cDNA的合成: 冰上混合RNA样品2 μL及随机六聚体引物1.25 μL, 70℃5 min后, 加入逆转录酶缓冲液4 μL, RNAsin 0.5 μL及10 mmol/L dNTP 1.25 μL, 25℃5 min, 37℃60 min, 70℃加热10 min终止反应。PCR反应体系: cDNA 10 μL, 10 × Taq酶缓冲液2 μL, 10 mmol/L dNTP 0.4 μL, 25 mmol/L MgCl₂ 0.8 μL, 上下游引物各1 μL及Taq酶1 μL, 补水至50 μL。PCR反应条件: 94℃45 s, 58℃30 s, 72℃60 s, 共30次循环。最后, 72℃3 min。取扩增产物10 μL, 在15 g/L琼脂糖凝胶上进行电泳分离, 紫外光照下以计算机图像分析系统成像和定量分析, 以COX-2/β-actin蛋白的吸光度比值表示COX-2 mRNA表达水平。用2.5 g/L胰蛋白酶消化对数生长期肿瘤细胞, 制成单细胞悬液, 接种在盖玻片上, 置孵育箱中培养, 待细胞贴壁后取出, 用PBS清洗2次, 4℃冷丙酮固定10 min后取出自然干燥, -20℃冰箱保存, 进行免疫细胞化学SABC染色。具体方法参见文献[4]。每次实验均

设阴性和阳性对照。用PBS代替一抗作阴性对照, 用已知阳性白片人结肠癌作阳性对照。MTT比色试验: 用2.5 g/L胰蛋白酶消化对数生长期肿瘤细胞, 制成单细胞悬液。以每孔1.0×10⁴个细胞接种于96孔培养板。置于37℃50 mL/L CO₂孵育箱中分别培养1, 2, 3或4 d后每孔加入MTT(5 g/L)20 μL, 孵育4 h, 弃上清, 加入150 μL DMSO, 振荡5 min使结晶物充分溶解, 在酶联免疫检测分析仪上测定A490 nm值。以只加培养液不加细胞的阴性对照孔调零, 每种样品设3个复孔, 实验重复3次。收集培养2 d的QBC-AS和QBC-P肿瘤细胞, 胰酶充分消化, 800 r/m离心5 min, -20℃预冷的80%乙醇固定。在流式细胞仪上作细胞周期和凋亡分析, 实验重复3次。

统计学处理 计量数据以 $\bar{x} \pm s$ 表示。采用SPSS统计软件包的t检验, P<0.05被认为有显著性意义。

2 结果

2.1 胆管癌细胞COX-2蛋白表达及mRNA表达水平 QBC-AS细胞COX-2 mRNA表达水平与QBC-P细胞及QBC939细胞相比明显下调, QBC-P细胞和QBC939细胞中COX-2 mRNA表达水平无明显变化(图1)。COX-2阳性表达表现为胞质或胞核出现棕黄色颗粒。QBC939细胞表达呈强阳性, 胞质与胞核均有表达, COX-2反义基因转染后的QBC-AS细胞表达呈弱阳性, 主要为胞质着色(图2, 3)。

2.2 基因转染对胆管癌细胞增生周期和凋亡的影响 分别在培养1, 2, 3, 4和5 d测细胞密度, 绘制生长曲线(图4)。QBC-AS细胞生长速率明显低于对照组QBC-P细胞和QBC939细胞, 而QBC-P细胞和QBC939细胞生长速率无明显变化。QBC-AS组S期细胞为0.09±0.02, 比对照QBC939组(0.16±0.03)明显降低(P<0.05), QBC-AS组G0/G1期细胞为0.75±0.04, 比QBC939组(0.57±0.10)显著增高(P<0.01), 增生指数明显降低(P<0.01), 增生指数(PI)用(S+G2/M)%×100表示, QBC-AS组和QBC939组细胞增生指数分别为22.6±9.0和41.8±10.1; 细胞凋亡分析显示COX-2反义基因转染不影响细胞凋亡(P>0.05), QBC-AS组和QBC939组细胞凋亡率分别为4.0±0.9和2.8±0.2。QBC-P组与QBC939组细胞周期和细胞凋亡无明显差异(P>0.05)。

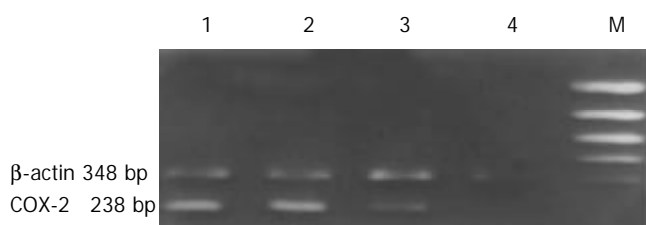


图1 COX-2 RT-PCR电泳图, β-actin为内参照。1、2泳道: QBC939细胞; 3泳道: QBC-P细胞; 4泳道: QBC-AS细胞; M泳道: PBR322分子量标准。

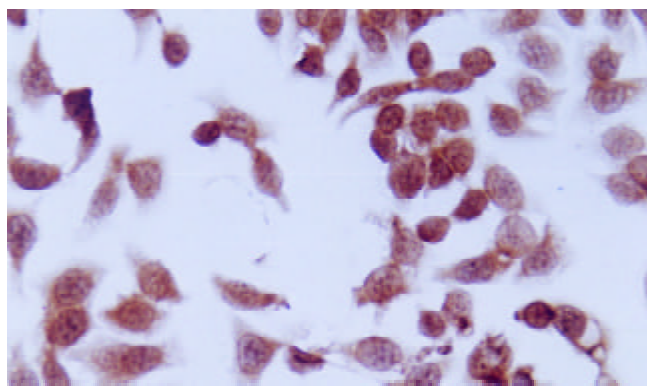


图 2 QBC939 细胞 COX-2 表达呈强阳性, 胞质与胞核均有表达. 免疫组织化学 SABC 法 $\times 200$.

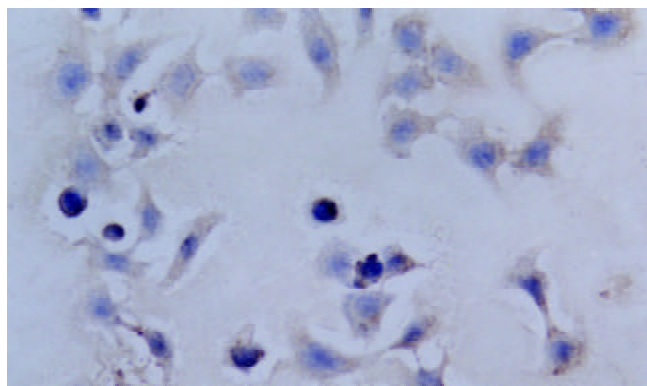


图 3 COX-2 反义基因转染后的 QBC-AS 细胞表达呈弱阳性, 主要为胞质着色. 免疫组织化学 SABC 法 $\times 200$.

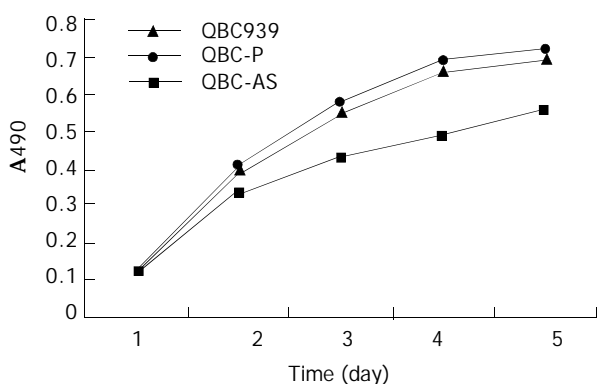


图 4 转染前后肿瘤细胞生长曲线. QBC-AS 与 QBC939 和 QBC-P 细胞比较, 第 2 天增生速度就开始下降, 第 3 天后增生速度下降就比较明显.

3 讨论

近年研究表明, COX-2 不仅是炎症反应的中心环节, 而且在很多肿瘤组织中表达上调, 与肿瘤的发生与发展关系密切^[7-22]. COX-2 基因表达的蛋白被认为是一种原癌蛋白(prooncogenic protein)^[23]. Uefuji et al^[24]用 RT-PCR 方法检测了 37 例胃腺癌的 COX-2 mRNA 水平, 他们的研究结果表明 mRNA 水平与肿瘤大小有关, pT2-pT4 期胃癌 COX-2 mRNA 水平明显高于 pT1 期胃癌, 提示 COX-2 可能促进胃腺癌的进展. COX-1 则普遍被认为与肿瘤的发生与发展无关, 只有极少数报道提示 COX-1 有与 COX-2 类似的作用. Narko et al^[25] 报道通过上调 COX-1 表达水平可使在体外培养的永生内皮细胞 ECV

向肿瘤细胞转化; Marks et al^[26] 在小鼠皮肤鳞状细胞癌模型的研究中发现 COX-1 表达缺陷鼠的致瘤率和形成肿瘤的体积比野生型小鼠明显降低. COX-2 促进肿瘤的发生、发展的作用机制包括: 提高促进肿瘤血管生长的因子 VEGF 的表达水平; 通过催化花生四烯酸代谢的产物血栓素 A₂、PGE₂ 和 PGI₂ 直接刺激诱导肿瘤血管形成; 通过激活 Bcl-2 或 Akt 而阻止内皮细胞的凋亡^[27]; Tsujii et al^[28] 报道, 结构性 COX-2 的表达能导致结直肠癌细胞表型的变化, 从而引起结直肠癌细胞转移潜能的改变. 流行病学研究表明, 长期服用阿司匹林或其他非甾体类抗炎药的人群结肠癌、直肠癌、胃肠道及肺癌的发生率较低^[29-31].

胆管癌被称为 21 世纪癌王, 目前还没有有效的治疗方法. 胆管癌发病的高危因素有: 胆管结石; 原发性硬化性胆管炎; 先天性胆管扩张症, 特别是行囊肿肠管吻合术后以及中华支睾吸虫感染、慢性炎性肠病等, 这些因素中有一个共同的环节: 慢性损伤和炎症. COX-2 是炎症反应的中心环节, 因此我们提出一个假说: 胆管癌的发生可能通过 COX-2 途径. 我们以前的实验表明 COX-2 在胆管癌组织中为诱导性表达, 其表达上调与胆管癌的形成关系密切^[4]. 本实验通过脂质体介导将反义 COX-2 重组载体转染 COX-2 高表达人胆管癌细胞 QBC939, 观察 COX-2 反义核酸对 QBC939 细胞的生长抑制作用. 我们的实验表明, 反义 COX-2 基因转染后胆管癌细胞中 COX-2 mRNA 表达水平明显下调, COX-2 蛋白表达减弱. 转染反义 COX-2 重组载体的 QBC939 细胞生长速率明显下降. 细胞周期分析表明, 反义基因转染后胆管癌细胞被抑制在 G0/G1 期, G0/G1 期细胞比例比转染前明显上升; 反义基因转染后比转染前增生指数显著下降, S 期细胞比例比转染前明显降低, 但 COX-2 反义核酸转染对 QBC939 细胞凋亡率无明显影响. 提示 COX-2 反义基因转染能改变 QBC939 细胞的增生状态, 其抑制胆管癌细胞增生作用是通过改变细胞周期而不是通过影响细胞凋亡机制实现的.

4 参考文献

- Yoon JH, Higuchi H, Werneburg NW, Kaufmann SH, Gores GJ. Bile acids induce cyclooxygenase-2 expression via the epidermal growth factor receptor in a human cholangiocarcinoma cell line. *Gastroenterology* 2002;122:985-93
- Tian G, Yu JP, Luo HS, Yu BP, Yue H, Li JY, Mei Q. Effect of Nimesulide on proliferation and apoptosis of human hepatoma SMMC-7721 cells. *World J Gastroenterol* 2002;8:483-487
- Cheng J, Imanishi H, Amuro Y, Hada T. NS-398, a selective cyclooxygenase 2 inhibitor, inhibited cell growth and induced cell cycle arrest in human hepatocellular carcinoma cell lines. *Int J Cancer* 2002;99:755-761
- Wu GS, Wang JH, Liu ZY, Zou SQ. Expression of cyclooxygenase-1 and -2 in extra-hepatic cholangiocarcinoma. *HBPD INT* 2002;1:429-433
- 王曙光, 韩本立, 段恒春, 陈意生, 彭志明. 肝外胆管癌细胞系的建立. 中华实验外科杂志 1997;14:67-68
- 吴汉平, 吴开春, 李玲, 弧立萍, 兰梅, 王新, 樊代明. 人环氧合酶 -2 (hCOX-2) 编码基因的克隆及其反义核酸转染胃癌细胞的初步研究. 世界华人消化杂志 2000;8:1211-1217

- 7 Kisley LR, Barrett BS, Bauer AK, Dwyer-Nield LD, Barthel B, Meyer AM, Thompson DC, Malkinson AM. Genetic ablation of inducible nitric oxide synthase decreases mouse lung tumorigenesis. *Cancer Res* 2002;62:6850-6856
- 8 Sonoshita M, Takaku K, Oshima M, Sugihara K, Taketo MM. Cyclooxygenase-2 expression in fibroblasts and endothelial cells of intestinal polyps. *Cancer Res* 2002;62:6846-6849
- 9 Wu YL, Sun B, Zhang XJ, Wang SN, He HY, Qiao MM, Zhong J, Xu JY. Growth inhibition and apoptosis induction of Sulindac on Human gastric cancer cells. *World J Gastroenterol* 2001;7:796-800
- 10 Cheng J, Imanishi H, Iijima H, Shimomura S, Yamamoto T, Amuro Y, Kubota A, Hada T. Expression of cyclooxygenase 2 and cytosolic phospholipase A (2) in the liver tissue of patients with chronic hepatitis and liver cirrhosis. *Hepatol Res* 2002;23:185-195
- 11 Davies G, Martin LA, Sacks N, Dowsett M. Cyclooxygenase-2 (COX-2), aromatase and breast cancer: a possible role for COX-2 inhibitors in breast cancer chemoprevention. *Ann Oncol* 2002;13:669-678
- 12 Seno H, Oshima M, Ishikawa TO, Oshima H, Takaku K, Chiba T, Narumiya S, Taketo MM. Cyclooxygenase 2- and prostaglandin E (2) receptor EP (2)-dependent angiogenesis in Apc (Delta716) mouse intestinal polyps. *Cancer Res* 2002;62:506-511
- 13 Zimmermann KC, Sarbia M, Weber AA, Borchard F, Gabbert HE, Schror K. Cyclooxygenase-2 expression in human esophageal carcinoma. *Cancer Res* 1999;59:198-204
- 14 Gupta S, Srivastava M, Ahmad N, Sakamoto K, Bostwick DG, Mukhtar H. Lipoxygenase-5 is overexpressed in prostate adenocarcinoma. *Cancer* 2001;91:737-743
- 15 Weddle DL, Tithoff P, Williams M, Schuller HM. Beta-adrenergic growth regulation of human cancer cell lines derived from pancreatic ductal carcinomas. *Carcinogenesis* 2001;22:473-479
- 16 Ristimaki A, Nieminen O, Saukkonen K, Hotakainen K, Nordling S, Haglund C. Expression of cyclooxygenase-2 in human transitional cell carcinoma of the urinary bladder. *Am J Pathol* 2001;158:849-853
- 17 Kulkarni S, Rader JS, Zhang F, Liapis H, Koki AT, Masferrer JL, Subbaramaiah K, Dannenberg AJ. Cyclooxygenase-2 is overexpressed in human cervical cancer. *Clin Cancer Res* 2001;7:429-434
- 18 Tong BJ, Tan J, Tajeda L, Das SK, Chapman JA, DuBois RN, Dey SK. Heightened expression of cyclooxygenase-2 and peroxisome proliferator-activated receptor-delta in human endometrial adenocarcinoma. *Neoplasia* 2000;2:483-490
- 19 Uefuji K, Ichikura T, Mochizuki H. Expression of cyclooxygenase-2 in human gastric adenomas and adenocarcinomas. *J Surg Oncol* 2001;76:26-30
- 20 Kokawa A, Kondo H, Gotoda T, Ono H, Saito D, Nakadaira S, Kosuge T, Yoshida S. Increased expression of cyclooxygenase-2 in human pancreatic neoplasms and potential for chemoprevention by cyclooxygenase inhibitors. *Cancer* 2001;91:333-338
- 21 Fantappie O, Masini E, Sardi I, Raimondi L, Bani D, Solazzo M, Vannacci A, Mazzanti R. The MDR phenotype is associated with the expression of COX-2 and iNOS in a human hepatocellular carcinoma cell line. *Hepatology* 2002;35:843-852
- 22 Kakiuchi Y, Tsuji S, Tsujii M. Cyclooxygenase-2 activity altered the cell-surface carbohydrate antigens on colon cancer cells and enhanced liver metastasis. *Cancer Res* 2002;62:1567-1572
- 23 Oshima M, Murai N, Kargman S, Arguello M, Luk P, Kwong E, Taketo MM, Evans JF. Chemoprevention of intestinal polyposis in the Apcdelta716 mouse by rofecoxib, a specific cyclooxygenase-2 inhibitor. *Cancer Res* 2001;61:1733-1740
- 24 Uefuji K, Ichikura T, Mochizuki H. Expression of cyclooxygenase-2 in human gastric adenomas and adenocarcinomas. *J Surg Oncol* 2001;76:26-30
- 25 Narko K, Ristimaki A, MacPhee M, Smith E, Haudenschild CC, Hla T. Tumorigenic transformation of immortalized ECV endothelial cells by cyclooxygenase-1 overexpression. *J Biol Chem* 1997;101:95-98
- 26 Marks F, Furstenberger G. Proliferative responses of the skin to external stimuli. *Environ Health Perspect* 1993;101:95-97
- 27 Gately S. The contributions of cyclooxygenase-2 to tumor angiogenesis. *Cancer Metastasis Rev* 2000;19:19-27
- 28 Tsujii M, Kawano S, DuBois RN. Cyclooxygenase-2 expression in human colon cancer cells increases metastatic potential. *Proc Natl Acad Sci USA* 1997;94:3336-3340
- 29 Lynch PM. COX-2 inhibition in clinical cancer prevention. *Oncology* 2001;15(Suppl 5):21-26
- 30 Saha D, Roman C, Beauchamp RD. New strategies for colorectal cancer prevention and treatment. *World J Surg* 2002;26:26-30
- 31 Davies G, Martin LA, Sacks N, Dowsett M. Cyclooxygenase-2 (COX-2), aromatase and breast cancer: a possible role for COX-2 inhibitors in breast cancer chemoprevention. *Ann Oncol* 2002;13:669-678



Published by **Baishideng Publishing Group Inc**
7901 Stoneridge Drive, Suite 501, Pleasanton,
CA 94588, USA
Fax: +1-925-223-8242
Telephone: +1-925-223-8243
E-mail: bpgoffice@wjgnet.com
<http://www.wjgnet.com>



ISSN 1009-3079



9 771009 307056